

ется, как правило, за несколько микросекунд до замыкания всего промежутка, можно полагать, что определяющую роль в процессе шнурования играют объемные процессы.

## Л и т е р а т у р а

- [1] Акишев Ю.С., Волчек А.М., Напарто-вич А.П. и др. - ТВТ, 1987, т. 25, № 4, с. 630-635.
- [2] Персианцев И.Г., Рахимов А.Т., Сутина Н.В., Тимофеев М.А. - Физика плазмы, 1983, т. 9, № 3, с. 637-641.
- [3] Кондрашов В.Н., Родионов Н.Б., Ситников С.Ф., Соколов В.И. - ЖТФ, 1986, т. 56, № 1, с. 89-96.
- [4] Демьянин Л.В., Кочетов И.В., Напарто-вич А.П. и др. - Письма в ЖТФ, 1986, т. 12, № 14, с. 849-853.
- [5] Месси Г. Отрицательные ионы, М.: Мир, 1979.

Поступило в Редакцию  
18 июля 1988 г.

Письма в ЖТФ, том 14, вып. 20

20 октября 1988 г.

## ПОГЛОЩЕНИЕ СВЕТА В ТОНКИХ ПЛЕНКАХ $GaAs$ , ИМПЛАНТИРОВАННЫХ ИОНАМИ АЗОТА И КИСЛОРОДА ВЫСОКОЙ ЭНЕРГИИ

И.А. Ельяшевич, А.Б. Журавлев,  
Ю.В. Мараконов, Е.Л. Портной,  
А.Е. Федорович

Глубокая имплантация ионов кислорода в  $GaAs$  позволяет создать эффективный насыщающийся поглотитель, быстродействие которого составляет величину порядка нескольких пикосекунд при дозах облучения  $\sim 10^{12}$  ион/ $cm^2$  [1, 2].

Свойства такого поглотителя определяются областями разупорядочения, образующимися вдоль треков имплантируемых и вторичных ионов. В частности, время жизни неравновесных носителей заряда и, значит, быстродействие поглотителя зависят от размеров аморфных областей, созданных ионной бомбардировкой, и расстояния между ними, так как рекомбинация носителей в данном случае определяется безызлучательными процессами и время жизни равно времени диффузии носителей до аморфных областей [3].

Сведения об объеме образующихся аморфных областей можно получить, изучая спектры пропускания света арсенидом галлия вблизи края поглощения в зависимости от дозы облучения. С ростом дозы

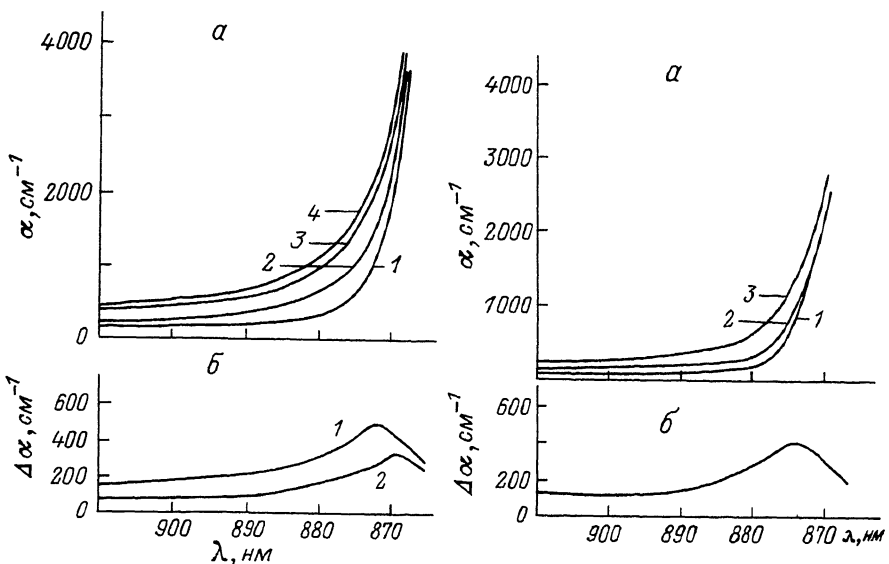


Рис. 1. Влияние имплантации ионов азота на оптическое поглощение в образце  $GaAs$  толщиной 8 мкм. а - край поглощения при разных дозах имплантации (1 - неимплантированный образец, 2 -  $10^{12}$  ион/ $cm^2$ , 3 -  $1.5 \cdot 10^{12}$  ион/ $cm^2$ , 4 -  $2 \cdot 10^{12}$  ион/ $cm^2$ ); б - спектральная зависимость изменения коэффициента поглощения  $\Delta\alpha$  в образце при увеличении дозы имплантации (1 - доза увеличилась с  $10^{12}$  до  $1.5 \cdot 10^{12}$  ион/ $cm^2$ , 2 - доза увеличилась с  $1.5 \cdot 10^{12}$  до  $2 \cdot 10^{12}$  ион/ $cm^2$ ).

Рис. 2. Влияние имплантации ионов кислорода на оптическое поглощение в образце  $GaAs$  толщиной 8 мкм. а - край поглощения при разных дозах имплантации (1 - неимплантированный образец, 2 -  $1.1 \cdot 10^{11}$  ион/ $cm^2$ , 3 -  $4.1 \cdot 10^{11}$  ион/ $cm^2$ ); б - спектральная зависимость изменения коэффициента поглощения  $\Delta\alpha$  в образце при увеличении дозы имплантации с  $1.1 \cdot 10^{11}$  до  $4.1 \times 10^{11}$  ион/ $cm^2$ .

коэффициент поглощения  $GaAs$  увеличивается. Относя это увеличение к образованию все большего количества аморфного материала и делая определенные предположения относительно формы аморфных областей, можно оценить их размеры.

В настоящей работе проведены измерения спектров пропускания света тонкими пленками  $GaAs$  толщиной (2-10) мкм для разных доз облучения ( $1-20$ )  $10^{11}$  ион/ $cm^2$ , рассчитан коэффициент поглощения пленок для каждой дозы и сделаны оценки размеров аморфных областей. Тонкие пленки  $GaAs$  получались с помощью селектив-

ного травления из двуслойных структур, выращенных на подложке  $\text{GaAs}$ . Методом жидкокристаллической эпитаксии на подложке выращивался слой твердого раствора  $\text{AlGaAs}$  толщиной (1-2) мкм и большим содержанием алюминия ( $> 50\%$ ). Затем выращивался слой  $\text{GaAs}$  необходимой толщины (2-10) мкм. Протрав через подложку до слоя  $\text{AlGaAs}$  осуществлялся селективным травителем ( $\text{H}_2\text{O}_2 + \text{NH}_3\text{OH}$ ), скорость травления которого резко замедляется при подходе к слою  $\text{AlGaAs}$ . Затем слой твердого раствора удалялся концентрированной соляной кислотой.

Полученные тонкие пленки подвергались облучению на циклотроне ФТИ ионами азота с энергией 16.7 МэВ и ионами кислорода с энергией 18.7 МэВ с дозами от  $10^{11}$  ион/см<sup>2</sup> до  $2 \cdot 10^{12}$  ион/см<sup>2</sup>. Для каждой дозы измерялись спектры пропускания имплантированных пленок  $\text{GaAs}$  вблизи края поглощения в области длин волн 860-920 нм. По спектрам пропускания были рассчитаны зависимости коэффициента поглощения образцов от длины волны проходящего света из формулы:

$$T = \frac{(1-R)^2 e^{-\alpha d}}{1-R^2 e^{-2\alpha d}},$$

где  $T$  – пропускание образца, т.е. отношение интенсивности прошедшего света к интенсивности падающего,  $R$  – коэффициент отражения поверхности образца ( $R = 0.31$  для  $\text{GaAs}$ ),  $d$  – толщина образца,  $\alpha$  – коэффициент поглощения.

В данной формуле учитывается многопроходность в образце, но не принимаются во внимание интерференционные явления, что оправдано из-за не слишком хорошего качества поверхности. Кривые для коэффициента поглощения тонких пленок  $\text{GaAs}$  в зависимости от длины волны для разных доз и двух видов ионов приведены на рис. 1,а; 2,а; 3,а.

Как уже было сказано, приращение коэффициента оптического поглощения при увеличении дозы облучения связано с образованием аморфных областей в  $\text{GaAs}$  вдоль треков имплантируемого иона. На рис. 1,б; 2,б; 3,б по кривым поглощения построены зависимости приращения  $\alpha$  от длины волны для соответствующих образцов. Наблюдаемое увеличение  $\Delta\alpha$  на краю поглощения объясняется сдвигом края поглощения в длинноволновую область. Поэтому для оценки количества образующегося аморфного материала значения  $\Delta\alpha$  берутся вдали от максимума на кривой  $\alpha(\lambda)$ .

Если предположить, что в случае облучения тонких пленок  $\text{GaAs}$  ионами высокой энергии 10-20 МэВ (с длиной пробега в кристалле порядка или больше толщины пленки) треки ионов прямолинейны, и, таким образом, имплантированный слой представляет собой неповрежденный  $\text{GaAs}$ , пронизанный цилиндрами из аморфного материала, то мы можем написать приращение поглощения в образце следующим образом:

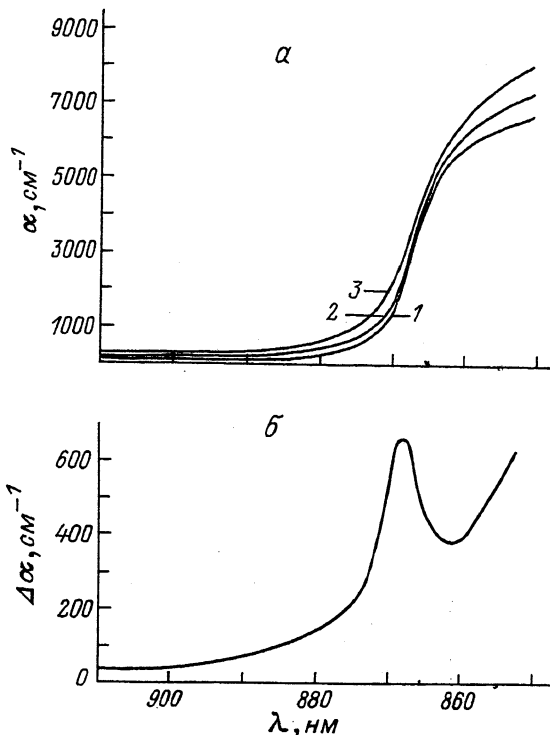


Рис. 3. Влияние имплантации ионов азота на оптическое поглощение в образце  $GaAs$  толщиной 4.5 мкм. а - край поглощения при разных дозах имплантации (1 - неимплантированный образец, 2 -  $10^{12}$  ион/ $cm^2$ , 3 -  $2 \cdot 10^{12}$  ион/ $cm^2$ , 4 -  $3 \cdot 10^{12}$  ион/ $cm^2$ ). б - спектральная зависимость изменения коэффициента поглощения  $\Delta\alpha$  в образце при увеличении дозы имплантации с  $2 \cdot 10^{12}$  ион/ $cm^2$  до  $3 \cdot 10^{12}$  ион/ $cm^2$ .

$$I_o e^{-(\alpha + \Delta\alpha)d} = k \cdot I_o e^{-\alpha_{am} \cdot d} + (1-k) I_o e^{-\alpha d},$$

где  $\alpha$  - коэффициент поглощения до имплантации,  $\Delta\alpha$  - приращение коэффициента поглощения после имплантации,  $\alpha_{am}$  - коэффициент поглощения аморфного материала,  $k$  - часть общей площади поверхности образца, занятая основаниями цилиндров из аморфного материала.

Разделим обе части равенства на  $I_o e^{-\alpha d}$ :

$$e^{-\Delta\alpha \cdot d} = k e^{-(\alpha_{am} - \alpha)d} + (1-k).$$

И, если считать  $\alpha_{am} \gg \alpha$  [4], то

$$k = \frac{e^{-\Delta\alpha \cdot d} - 1}{e^{-\Delta\alpha_{\text{ам}} \cdot d} - 1} \approx 1 - e^{-\Delta\alpha \cdot d}$$

Теперь мы можем оценить радиусы аморфных цилиндров, поскольку выражается через количество треков на  $1 \text{ см}^2$ , равное дозе  $\Phi$  (ион/ $\text{см}^2$ ), и площадь основания одного цилиндра  $\pi r^2$ :

$$k = \pi r^2 \phi, \quad r = \sqrt{\frac{1 - e^{-\Delta\alpha \cdot d}}{\pi \phi}}$$

Для  $\Delta\alpha = 100 \frac{1}{\text{см}}$ ,  $d = 8 \text{ мкм}$ ,  $\Phi = 5 \cdot 10^{11} \text{ ион}/\text{см}^2$  получаем  $r = 22 \text{ \AA}$ .

Следует отметить, что для образца толщиной 4.5 мкм величина  $\Delta\alpha$  составляет для такой же дозы величину  $\sim 50 \frac{1}{\text{см}}$ , и тогда  $r = 12 \text{ \AA}$ . Так как в данном случае толщина пленки меньше пробега иона азота с  $E = 16.7 \text{ МэВ}$  в  $\text{GaAs}$  из этого следует, что размеры областей разупорядочения растут по мере продвижения иона высокой энергии вглубь кристалла, и представление этих областей в виде цилиндров оказывается не вполне точным. Это объясняется тем, что при попадании в кристалл ионы высокой энергии взаимодействуют сначала с электронной подсистемой, образуя относительно мало дефектов. Измерение  $\Delta\alpha$  в имплантированных до  $\Phi = 10^{12} \text{ ион}/\text{см}^2$  пленках  $\text{GaAs}$  толщиной 1–2 мкм при среднем пробеге ионов около 10 мкм дало очень малую величину, лежащую в пределах погрешности нашего эксперимента. Только при уменьшении энергии иона начинает расти его взаимодействие с ядрами атомов кристалла, что приводит к увеличению дефектообразования и, тем самым, к росту среднего радиуса областей разупорядочения.

Согласно расчету, сделанному в [5], время жизни неравновесных носителей заряда в полупроводнике, содержащем цилиндрические треки аморфного материала, обратно пропорционально радиусу таких треков  $a$ :

$$\tau = 3 \cdot 10^{-12} c \left( \frac{300 K}{T} \right)^{1/2} \left( \frac{10^{-7} \text{ см}}{a} \right) \left( \frac{10^{11} \text{ ион}/\text{см}^2}{\phi} \right)$$

Некоторое расхождение, указанное в [5], между оценкой  $\tau$  по формуле ( $\tau = 10^{-13} \text{ с}$  при  $a = 30 \text{ \AA}$ ,  $\Phi = 10^{12} \text{ ион}/\text{см}^2$ ) и значением, полученным в эксперименте [3] ( $\tau = 10^{-12} \text{ с}$ ), можно объяснить тем, что данные [3] получены методом оптической ориентации и определяются, в основном, приповерхностным слоем облученного полупроводника толщиной порядка нескольких микрон с областями разупорядочения малого размера.

## Л и т е р а т у р а

- [1] Алферов Ж.И., Журавлев А.Б., Портной Е.Л.  
Стельмах Н.М. – Письма в ЖТФ, 1986, т. 12, в. 18,  
с. 1093–1098.

- [2] Журавлев А.Б., Плявенек А.Г., Портной Е.Л., Серегин В.Ф., Стельмах Н.М., Якубович С.Д. - ФТП, 1988, т. 22, в. 7, с. 1208-1213.
- [3] Журавлев А.Б., Марущак В.А., Портной Е.Л., Стельмах Н.М., Титков А.Н. - ФТП, 1988, т. 22, в. 2, с. 352-354.
- [4] Gheorghin A., Theureau M.-L. - Phil. Mag. B., 1988, v. 44, N 2, p. 285-306.
- [5] Аврутин Е.А., Портной М.Е. - ФТП, 1988, т. 22, в. 8, с. 1524-1528.

Физико-технический институт  
им. А.Ф. Иоффе, АН СССР  
Ленинград

Поступило в Редакцию  
19 августа 1988 г.

Письма в ЖТФ, том 14, вып. 20

26 октября 1988 г.

**СИНТЕЗ ВЫСОКОТЕМПЕРАТУРНОЙ СВЕРХПРОВОДЯЩЕЙ  
КЕРАМИКИ  $Y\text{-Ba-Cu-O}$  ПОД ДЕЙСТВИЕМ ИЗЛУЧЕНИЯ  
 $\text{CO}_2$ -ЛАЗЕРА**

С.А. Муленко

В последнее время появилось достаточно много работ по синтезу высокотемпературной сверхпроводящей керамики типа  $Y\text{-Ba-Cu-O}$ , полученной на основе смеси порошков  $\text{Y}_2\text{O}_3$ ,  $\text{BaCO}_3$ ,  $\text{CuO}$  или  $\text{Y}_2\text{O}_3$ ,  $\text{BaO}$ ,  $\text{CuO}$  методом твердофазного синтеза при температурах 700-1100 °C в течение нескольких десятков часов. Впервые синтез керамики типа  $Y\text{-Ba-Cu-O}$  со сверхпроводящими свойствами в интервале температур (80-93) K был осуществлен авторами в работе [1]. В указанной работе твердофазный синтез высокотемпературной сверхпроводящей керамики осуществлялся при нагреве образцов, полученных прессованием из смеси порошков  $\text{Y}_2\text{O}_3$ ,  $\text{BaCO}_3$ ,  $\text{CuO}$ . Синтез проводился в процессе термического разогрева спрессованных таблеток в печке при атмосферном давлении.

Однако такой способ синтеза высокотемпературной сверхпроводящей керамики является весьма малопроизводительным, ввиду больших затрат времени на процесс синтеза, а также малоэкономичным, так как нагрев образца в печке является гетерогенным процессом.

Для проведения гомогенных процессов, в частности синтеза керамики, весьма перспективно применять лазерное излучение [2]. В настоящей работе для твердофазного синтеза высокотемпературной сверхпроводящей керамики  $Y\text{-Ba-Cu-O}$  на основе порошков  $\text{Y}_2\text{O}_3$ ,  $\text{BaCO}_3$ ,  $\text{CuO}$  и  $\text{Y}_2\text{O}_3$ ,  $\text{BaO}$ ,  $\text{CuO}$  применялся  $\text{CO}_2$ -